

神大工 正員 ○ 松梨順三郎
大林組 正員 森 岸一

まえがき 不規則擾動とL²の河床波のスペクトル特性についてには、芦田・田中^{1), 2)}, 日野³⁾, Nordin-Algert⁴⁾, 福岡⁵⁾らの研究があり、特に(1)によると、河床波の発生・発達に応じた特性があり、Ripplesの領域では二次の線形マルコフモデルによる理論解、(2)乗法則などが多く適合することなどが知られています。本研究ではまず、Ripplesの領域でこれらを著者らおよび(1)の水路実験のデータによつて検討する。ついで、任意のスペクトル形をもつた不規則河床波を応答関数法を用いて数値的にシミュレートする手順を述べ^{7), 8)}、二次の線形マルコフモデルによる理論スペクトルを期待スペクトルに差し、そのシミュレーションを試みることの大要を述べる。

1 期待スペクトルについて Ripplesの領域における期待スペクトルとしては、=次の線形マルコフモデルによると、(3)乗法則が考えられますか、著者らの実験データとこれらを対比すると図-1をとります。実測値およびそれらの処理上の関係資料は表-1に示します。図の実験は河床変動を=次の線形マルコフモデル

$$\gamma(l) = \alpha \cdot \gamma(l-1) - \beta \cdot \gamma(l-2) + \varepsilon_l$$

とした場合の理論スペクトル $P(k)$

$$P(k) = \sigma_e^2 / \{ 1 + \alpha^2 + \beta^2 + 2\beta \cos 4\pi k - 2\alpha(1+\beta) \cos 2\pi k \} \quad (1)$$

とすこし $\gamma = l$ は河床に沿うずらし間隔であり、 $\alpha, \beta, \sigma_e^2$ は Nordin-Algert によると、 $\alpha = (C_0 C_1 - C_1 C_2) / (C_0^2 - C_1^2)$, $\beta = (C_1^2 - C_0 C_2) / (C_0^2 - C_1^2)$, $C_0 = (1+\beta)\sigma_e^2 / [(1-\beta)(1+\beta)^2 - \alpha^2]$ で与えられます。この実験データは $C_0, \alpha, \beta, \sigma_e^2$ は表-2に示します。各計算結果は(3)乗法則

$$P(k) = (2.4 \times 10^{-4}) k^{-3} \quad (2)$$

とし、実験式 $k_0 = 0.15 k^{-1}$ によると波数を示すと、(3)の実験データは高波数域でマルコフモデルより(3)乗法則の方がよく適合しているか、本報ではまずマルコフモデルを不規則河床波の期待スペクトル

として設定します。

2 応答関数法 一般に線形応答モデルによると、入力を $x(l)$ 、応答関数を $D(z)$ とし、出力 $y(l)$ は

$$y(l) = \int_{-\infty}^{\infty} D(z) \cdot x(l-z) dz \quad (3)$$

とえられます。 $D(z)$ のフーリエ変換

$$K(k) = \int_{-\infty}^{\infty} D(z) \exp(-iz\pi k z) dz \quad (4)$$

は波数応答関数と呼ばれます。出力 $y(l)$ の自己相關関数 $R_{yy}(l)$ は、入力 $x(l)$ のそれを R_{xx} とし

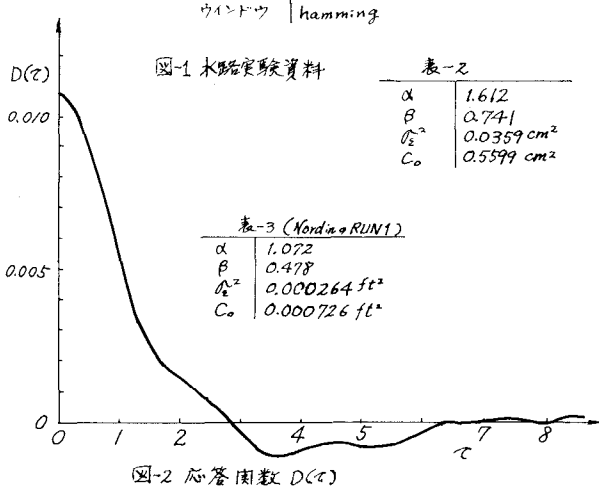
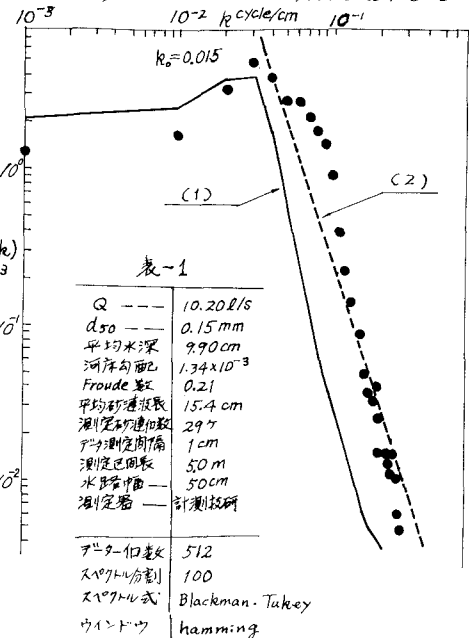


図-2 応答関数 $D(z)$

て、次式で表すを得る。

$$R_{yy}(k) = \int_{-\infty}^{\infty} D(\alpha) d\alpha \int_{-\infty}^{\infty} D(\beta) d\beta \cdot R_{xx}(k+\alpha-\beta) \quad (5)$$

式(5)の両辺を(4)式の関係を用いてフーリエ変換すると、次の関係を得る。

$$P_{yy}(k) = |K(k)|^2 P_{xx}(k) \quad (6)$$

既知入力 $x(l)$ およびそのスペクトル $P_{xx}(k)$ が知

る場合あるが、いま簡単のためには、ホワイトノイズと同様なスペクトル特性をもつ入力を用いる。 $P_{xx}(k) = C = \text{const.}$

であり、上式は $P_{yy}(k) = |K(k)|^2 C$ となる。 $K(k)$ は一般に複素関数であり、簡単にはそのうち虚部 i が、 $= 2\pi f$ は周波数 f に相当す

$$K(k) = \{P_{yy}(k)/C\}^{1/2} \quad (7)$$

と假定する。以上にまづて、出力 $y(l)$ の期待スペクトルが与えられていくと、(7)式より $K(k)$ を求め、これをフーリエ逆変換して応答関数 $D(l)$ を求める。まづてホワイトノイズと同様のスペクトル特性をもつ既知入力 $x(l)$ に対して、設定定期行スペクトルをもつ出力は式(3)によつてえられる。

3 ミニュレーション結果と考察 出力として不規則波床波の入力は、河床附近の不規則な流速変動と考へられる。いまこの入力をホワイトノイズと同様なスペクトル特性をもつ変動とみなし、期待スペクトルとして、(1)式(Nordin-Alger+ORNL表-3) $P(k)$ を適用すると、この場合の応答関数 $D(k)$ は図-2のようになる。つきに入力 $x(l)$ は電算機により図-3のようない様乱数でミニュレートした。図-4は図-3の入力に図-1の応答関数を作用させた場合の出力波形である。図-5はロット数は図-4の不規則出力をデータ数 500、スペクトル分割数 50 で、Blackman-Tukey の方法によるスペクトル解析した結果を示す。図の実線は期待スペクトル(1)を示す。プロット点は高波数域で大きさ一定と考へ、波長が短くなるにつれて全波数領域として太圓の一端をえている。なお、一例として正規分布とする場合についても講演時に報告する。

参考文献 1) 芦田・田中, Sand Wavesに関する基礎的研究(3), 第22回年次土木学会, 2) 芦田・木村, Sand wavesの発生過程に関する研究, 土木構造部会, 昭48, 3) M. Hino, Equilibrium-range spectra of sand waves formed by flowing water, J. Fluid Mech. 1968, 4) Nordin-Alger, Spectral Analysis of sand waves, Proc. ASCE, 1966, 5) 福岡, 砂堆の発生, 岩達とスペクトル, 東工大, 土報, No.1968, 6) 松葉, 川口, 河床波のスペクトルに関する一考察, 土木構造部会, 昭48, 7) 長垣・木村, 不規則波浪の数値シミュレーションに関する一考察, 土木構造部会, 昭48, 8) 日野, 波浪の予測フィルター・変換フィルター(1), 14回海岸工学

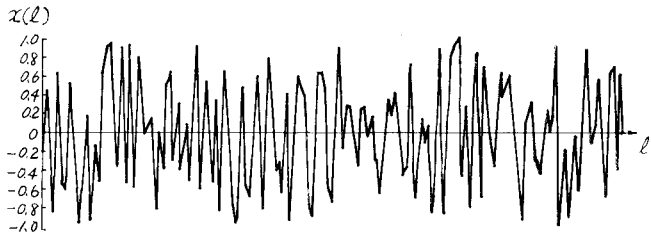


図-3 一様乱数: $x(l)$

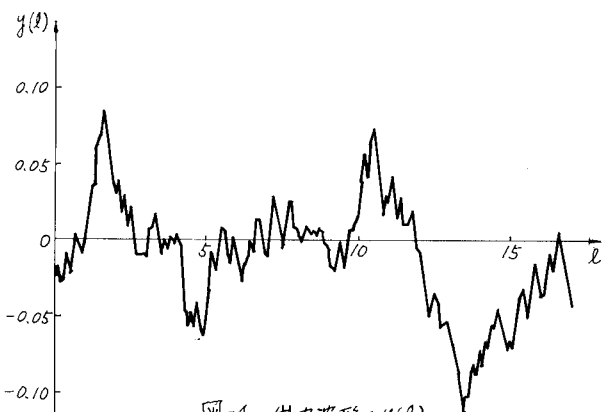


図-4 出力波形: $y(l)$

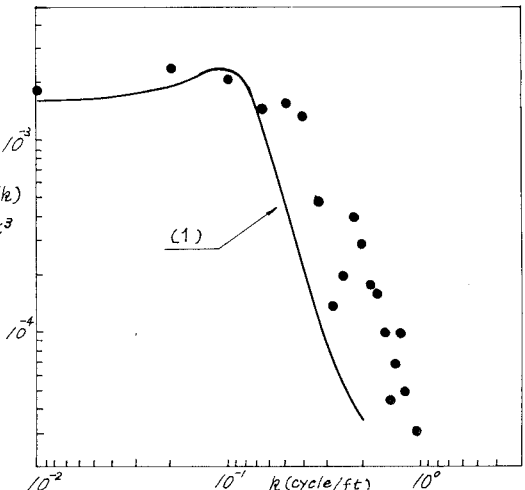


図-5 期待スペクトルとミニュレーション結果